

\*دراسة تأثير التشوه النووي على مستويات الطاقة في منطقة النوى الثقيلة

تاريخ القبول: 2014\10\19

تاريخ الاستلام : 2014\6\4

هييام ناجي هادي

قيصر عبدالحسين عباس

قسم الفيزياء / كلية التربية للبنات / جامعة الكوفة

Caesar. budeiri@yahoo.com

heiyam Najy @yahoo.com

الخلاصة

يهدف البحث الى دراسة التركيب النووي لبعض النوى الثقيلة باستخدام نموذج البوزونات المتفاعلة الاول (IBM-1) وتم حساب مستويات الطاقة الواطئة للتحديد نوع التناظر الديناميكي التي تنتمي اليه هذه الايزوتونات ( $^{182}\text{W}$ ,  $^{180}\text{Hf}$ ,  $^{178}\text{Yb}$ ,  $^{184}\text{Os}$ ) وقد تم التنبيه بالزخم الزاوي والتماثل لبعض مستويات الطاقة التي لم تعين بصورة أكيدة وتم تأكيد بعضها وإيجاد الزخم والتماثل لبعض الاخر التي لم يسبق تحديدها عمليا .

Physics classification : QC770-798

الكلمات المفتاحية : تركيب طاقه , تفاعل البوزونات , مستويات طاقه , التناظر الديناميكي , الزخم الزاوي

المقدمة

عدد البوزونات من نوع s زائدا عدد البوزونات من نوع (N= nd +ns) وهو عدد ثابت يمثل عدد ازدواج النيوكليونات خارج القشرات المغلقة [2,1] قام العديد من الباحثين بدراسة الخواص النووية للايزوتونات في منطقة النوى الثقيلة وفي عام 1970 قام الباحث F. Wagner [6] بقياس العزوم رباعية القطب الكهربائية و عزوم ثنائية القطب المغناطيسي للمستويات  $2^+$  في حالة نظير  $^{188-186}\text{Os}$  . قام الباحث R -J Champeau [13] عام 1974 بتحديد البرم النووي و العزوم رباعية القطب الكهربائية لنظير  $^{169}\text{Yb}$  . في عام 1978 استخدم الباحث Aberg [14] Sevn جهد التذبذب المحوري لدراسة نوى  $^{172-180}\text{HF}$  عند زخوم زاوية عالية جدا , ووجد أن جميع هذه النظائر تدور حول محور التناظر المتناظر. ثم بعد ذلك في عام 1998 قام Patra [12] باستخدام نظرية متوسط المجال النسبي (relativistic mean-field theory) لدراسة خصائص تركيب ( $\text{Yb}, \text{Hf}$ ) ووجد تذبذب في العزم السداسي عشر (hexadecapole) من الموجب إلى السالب ومن السالب إلى الموجب مع زيادة في العدد الكتلي لسلسلة.

اقترح نموذج البوزونات المتفاعلة (Interacting Boson Model (IBM)) من قبل الباحثان Iachello and Arima لوصف التركيب النووي التجميعي للنوى المتوسطة والثقيلة  $A \geq 100$  . ماعدا النوى المغلقة أو القريبة من القشرات المغلقة، إن هذا النموذج يفترض أن النوى الزوجية – الزوجية تمثل على شكل قلب (core) من الأعداد السحرية، أما النيوكليونات خارج القشرات المغلقة فتزدوج مع بعضها مكونة ما يسمى البوزونات (bosons)، هذه البوزونات تشغل إحدى المستويين المستوى الأرضي والمستوى المثهبج، أما المستوى الأرضي والذي زخمه الزاوي يساوي صفرا فتكون بوزناته من نوع s ( $s - boson$ ) في حين أن المستوى المثهبج والذي يأخذ زخما زاويا مقداره 2 تكون البوزونات من نوع ( $d - boson$ ) . وهذان المستويان لهما الطاقات  $\epsilon_s$  و  $\epsilon_d$  على التوالي والفرق بين طاقة البوزونين  $\epsilon_s$  و  $\epsilon_d$  وغالبا ما تكون طاقة البوزونات من نوع s مساوية إلى الصفر ( $\epsilon_s = 0$ ). أن البوزونات التي لها نفس الزخم الزاوي والمثشابهة تتفاعل مع بعضها , العدد الكلي للبوزونات N يساوي \*البحث مستل من رساله ماجستير للباحث الاول

نموذج البوزونات على نظائر ( $\text{Yb}, \text{Hf}, \text{W}, \text{Os}$ ) و ( $\text{Pt}$ ) الغنية بالنيوترونات ذات العدد الكتلي ( $A=100$ -) و 200) وتم حساب مستويات طاقات الإثارة ومعدلات الانتقال للمستويات الجماعية الرباعية القطب.

و درس الباحث Zerguine [15] عام (2008) النوى الزوجية لنظائر ( $\text{Yb}, \text{W}, \text{Hf}$ ) ضمن نموذج البوزونات المتفاعلة إذ تم حساب إنصاف أقطار النووية ولانتقالات ثنائية القطب الكهربائي ( $E_0$ ). ومن ثم في عام 2011 قام الباحث Nomura [11] باستخدام جهد هارتر فوك و

الجزء النظري

المتفاعلة الاول (IBM-1) يتضمن نوعين من الجسيمات وبالتالي يمكن كتابة مؤثر دالة هاملتون  $\hat{H}$  متضمنا حدين لتفاعلات الجسيمات المنفردة (One

لغرض وصف الطاقات لنظام نووي معين نحتاج الى مؤثر دالة هاملتون لذلك النظام، ان المؤثر الهاملتوني (Hamiltonian Operator) لنموذج البوزونات

Interactions بالشكل الآتي [9]:

Body Interactions وسبعة حدود اخرى لتفاعلات الجسيم والجسيمين (One Body and Two Body)

$$\hat{H} = \varepsilon_s (\hat{s}^\dagger \cdot \hat{s}) + \varepsilon_d \sum_m (\hat{d}_m^\dagger \cdot \hat{d}_m) + \hat{W} \quad (1)$$

$$\begin{aligned} \hat{H} = & \varepsilon_s (\hat{s}^\dagger \cdot \hat{s}) + \varepsilon_d \sum_m [\hat{d}_m^\dagger \cdot \hat{d}_m] \\ & + \sum_{L=0,2,4} \frac{1}{2} \sqrt{2L+1} c_L [[\hat{d}^\dagger \times \hat{d}^\dagger]^{(L)} \times [\hat{d} \times \hat{d}]^{(L)}]_0^{(0)} \\ & + \frac{1}{2} v_0 [[\hat{d}^\dagger \times \hat{d}^\dagger]^{(0)} \times [\hat{s} \times \hat{s}]^{(0)} + [\hat{s}^\dagger \times \hat{s}^\dagger]^{(0)} \times [\hat{d} \times \hat{d}]^{(0)}]_0^{(0)} \\ & + \frac{1}{\sqrt{2}} v_2 [[\hat{d}^\dagger \times \hat{d}^\dagger]^{(2)} \times [\hat{d} \times \hat{s}]^{(2)} + [\hat{d}^\dagger \times \hat{s}^\dagger]^{(2)} \times [\hat{d} \times \hat{d}]^{(2)}]_0^{(0)} \\ & + \frac{1}{2} u_0 [[\hat{s}^\dagger \times \hat{s}^\dagger]^{(0)} \times [\hat{s} \times \hat{s}]^{(0)}]_0^{(0)} + u_2 [[\hat{d}^\dagger \times \hat{s}^\dagger]^{(2)} \times [\hat{d} \times \hat{s}]^{(2)}]_0^{(0)} \dots (2) \end{aligned}$$

بين الاقواس تمثل ازدواج الزخم الزاوي (Angular Momentum Coupling)

حيث ان:  $\varepsilon_d, \varepsilon_s$  تمثل طاقة (s-boson) و (d-boson) على التوالي

ويمثل الحدان الأول والثاني طاقات تفاعل بوزون-بوزون للجسيم الواحد، اما الحدود السبعة الاخرى فتمثل طاقات تفاعل بوزون-بوزون للجسيم الواحد والجسيمين. [9]

m: تأخذ القيم  $m=0, \pm 1, \pm 2$ ، اما  $\hat{W}$ : فيمثل مؤثر تفاعل البوزون-بوزون (Boson-Boson Interaction) حيث تمثل  $u_L$  ( $L=0,2$ ) و  $c_L$  ( $L=0,2,4$ ) اعلمات تفاعل البوزونات (Bosons Interaction).

يمكن صياغة المعادلة (2) باستعمال صيغة التوسيع متعدد القطب

(Multipole Expansion Form) [9]:

$$\hat{H} = \varepsilon \hat{n}_d + a_0 \hat{P} \cdot \hat{P} + a_1 \hat{L} \cdot \hat{L} + a_2 \hat{Q} \cdot \hat{Q} + a_3 \hat{T}_3 \cdot \hat{T}_3 + a_4 \hat{T}_4 \cdot \hat{T}_4 \quad (3)$$

### التناظر الديناميكي

التناظر الديناميكي لزمرة U(6) وتنتهي بالزمرة الكامية غير مستقرة (γ-Unstable Limit) [9, 2]:

$$\begin{aligned} U(6) & \begin{cases} \rightarrow SU(5) \supset O(5) \supset O(3) \supset O(2) & (I) \\ \rightarrow SU(3) \supset O(3) \supset O(2) & (II) \\ \rightarrow O(6) \supset O(5) \supset O(3) \supset O(2) & (III) \end{cases} \quad (4) \end{aligned}$$

رباعي القطب (Q.Q) بين البوزونات ويسمى هذا التحديد بالتحديد الدوراني، يكون تفاعل الازدواج (P.P) الحاصل بين البوزونات هو المهيمن نسبة إلى طاقة البوزونات ويسمى هذا التحديد بتحديد كاما غير المستقر (γ-unstable) O(6).

والمعادلة اعلاه تمثل الانواع الثلاثة في التحديدات تكون طاقة البوزونات (ε) اكبر بكثير من جهد التفاعل بين البوزونات، أي أن ( $\varepsilon \gg V$ ) يسمى هذا التحديد بالتحديد الاهتزازي، اما التحديدان (III II) في حدثان عندما تكون طاقة البوزونات اكبر بكثير من جهد التفاعل بين البوزونات وعندما يحدث تفاعل عزم

### التناظر الديناميكي الدوراني

يوصف هذا التناظر بالمجموعة الفرعية SU(3) والتي تكتب مع أعدادها الكمية كالتالي [6]:

$$\left. \begin{array}{cccc} U(6) & \supset & SU(3) & \supset & O(3) & \supset & O(2) \\ \downarrow & & \downarrow & & \downarrow & & \downarrow \\ [N] & & (\lambda, \mu), k & & L & & M_L \end{array} \right\} \quad (5)$$

حيث ان N يمثل عدد البوزونات الكلي  
 يضاف هذا العدد الكمي لأن الانتقال من SU(3) إلى O(6) غير كامل التحلل (Not fully decomposable).  
 M<sub>L</sub> يمثل مسقط الزخم الزاوي L.

إذ يصف العددان الكميان (λ, μ) حالات SU(3) الممكنة لكل قيمة لـ N ويرمز العدد الكمي K إلى الحالات التي تمتلك قيمة متساوية لـ (λ, μ, L).

### النتائج والمناقشة

تم في هذا البحث دراسة مجموعة من الايزوتونات الزوجية - الزوجية ذات العدد الذري من Z=70 إلى Z=76 وبعده نيوترونات مساوي إلى 108 وكانت كالاتي (<sup>184</sup>Os, <sup>182</sup>W, <sup>180</sup>Hf, <sup>178</sup>Yb) وعند دراسة الخواص النووية لهذه السلسلة من النظائر ذات العدد الكتلي (178-184) تم تحديد سلوك كل نظير اعتمادا على النتائج النظرية المحسوبة باستعمال نموذج البوزونات المتفاعلة (IBM-1) ومقارنتها مع القيم

القشرة الرئيسية بين (80-126) و تعد من النوى ذات الخواص الجماعية Collective Properties. استخدم برنامج IBM-code لحساب مستويات الطاقة لسلسلة الايزوتونات حيث تم حساب معاملات المعادلة (2) من المخططات العملية لهذه النوى الجدول (1) يمثل عدد البوزونات وقيم المعاملات التي استخدمت في نموذج IBM-1 التي أعطت أفضل توافق بين مستويات الطاقة النظرية والعملية.

Parameters	N	ε <sub>ps</sub>	$\hat{P} \cdot \hat{P}$	$\hat{L} \cdot \hat{L}$	$\hat{Q} \cdot \hat{Q}$	$\hat{T}_3 \cdot \hat{T}_3$	$\hat{T}_4 \cdot \hat{T}_4$	CHI
Isotope	(MeV)							
<sup>178</sup> Yb	15	0	0	0.0085	-0.0145	0	0	-1.23
<sup>180</sup> Hf	14	0	0	0.0105	-0.0135	0	0	-1.32
<sup>182</sup> W	13	0	0	0.0110	-0.0149	0	0	-1.32
<sup>184</sup> Os	12	0	0	0.0155	-0.0119	0	0	-1.32

العملية المتوافرة حيث أن مستويات الطاقة الواطئة ذات التماثل الموجب (Low-lying positive parity) في سلسلة النظائر الزوجية الزوجية التي يقترب فيها عدد بروتونات من القشرة 80 والنيوترونات من منتصف

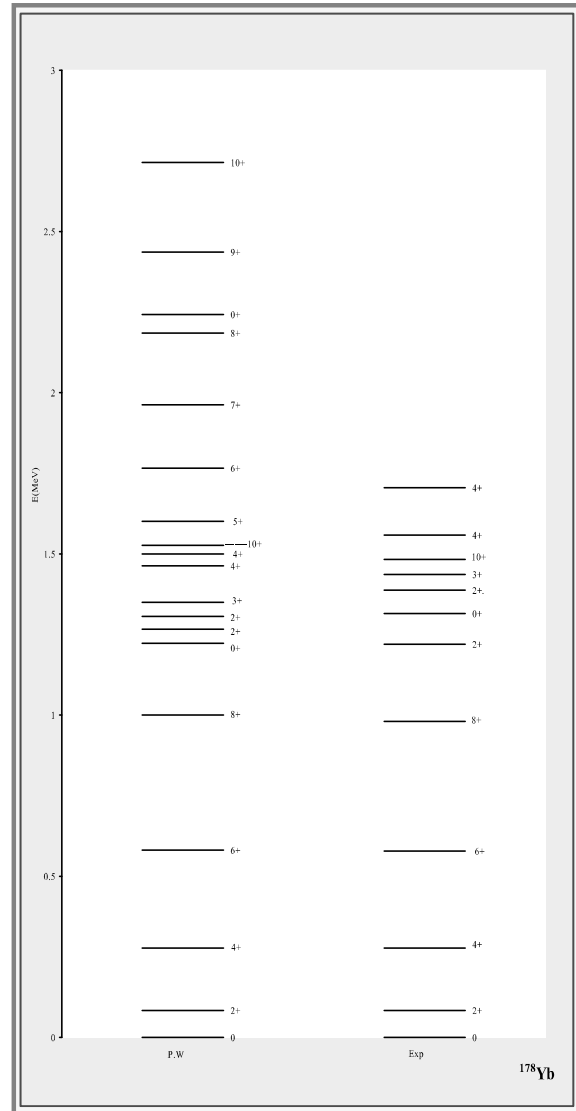
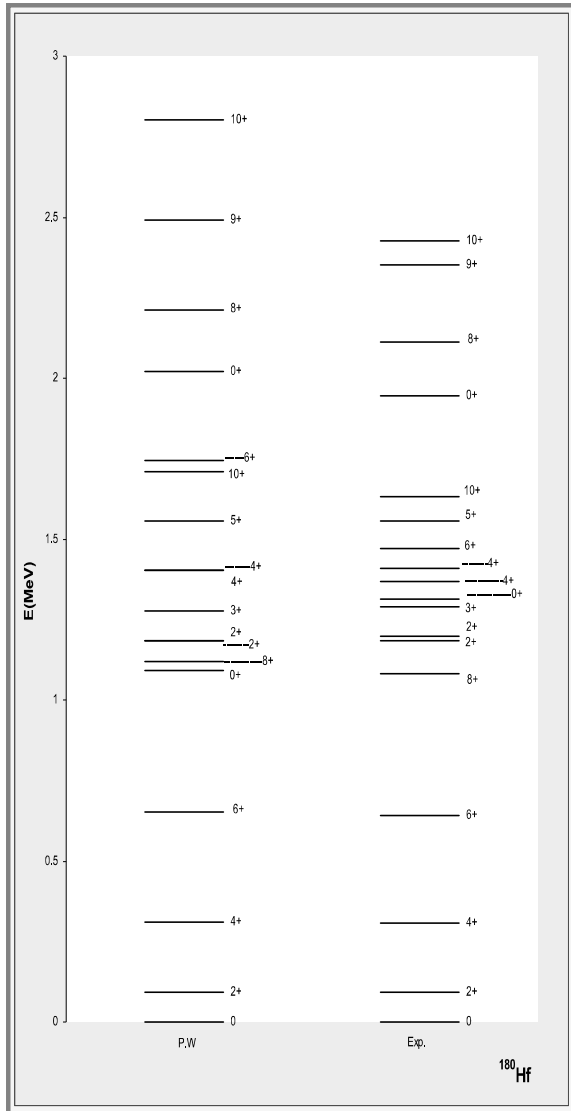
القيم النظرية طاقة المستويات المحسوبة بواسطة برنامج IBM-1 لهذه الايزوتونات فهي موضحة بالأشكال من (1) حيث تمت مقارنتها مع القيم العملية وكانت على درجة عالية من التوافق

### جدول (1) يبين قيم المعاملات المستخدمة في برنامج IBM-1 لسلسلة الايزوتونات

للنوى (<sup>184</sup>Os, <sup>182</sup>W, <sup>180</sup>Hf, <sup>178</sup>Yb). وبالتالي ظهور صفات التحديد الدورانية SU(3) بشكل واضح. ان ملاحظة سلوك المستويات الطاقة العملية لنوى (<sup>184</sup>Os, <sup>182</sup>W, <sup>180</sup>Hf, <sup>178</sup>Yb) يبين أن نسب مستويات الطاقة للنواة (<sup>184</sup>Os, <sup>182</sup>W, <sup>180</sup>Hf, <sup>178</sup>Yb) يكون متشابهة تقريبا حيث تكون نسبة المستوي (4<sub>1</sub><sup>+</sup>/2<sub>1</sub><sup>+</sup>) مساوية إلى (3.33, 3.34, 3.35), (3.35) على التوالي في حين تكون نسبة المستوي (6<sub>1</sub><sup>+</sup>/2<sub>1</sub><sup>+</sup>) (7.012, 7.021, 7.03, 7.04) ونسبة المستوي (8<sub>1</sub><sup>+</sup>/2<sub>1</sub><sup>+</sup>) مساوية إلى (12.03, 12.04, 12.06, 12.07) على التوالي والتي تكون الطاقة (4<sub>2</sub><sup>+</sup>, 0<sub>2</sub><sup>+</sup>, 2<sub>2</sub><sup>+</sup>) العملية والنظرية لنوى (<sup>184</sup>Os, <sup>182</sup>W, <sup>180</sup>Hf, <sup>178</sup>Yb) الزوجية والذي يظهر تشابه بين النوى الاربعة الاولى وهذا يدعم طيف الطاقة و نجد ان حزم الطاقة مطابقا تماما لتحديد الدوراني لنوى (<sup>184</sup>Os, <sup>182</sup>W, <sup>180</sup>Hf, <sup>178</sup>Yb).

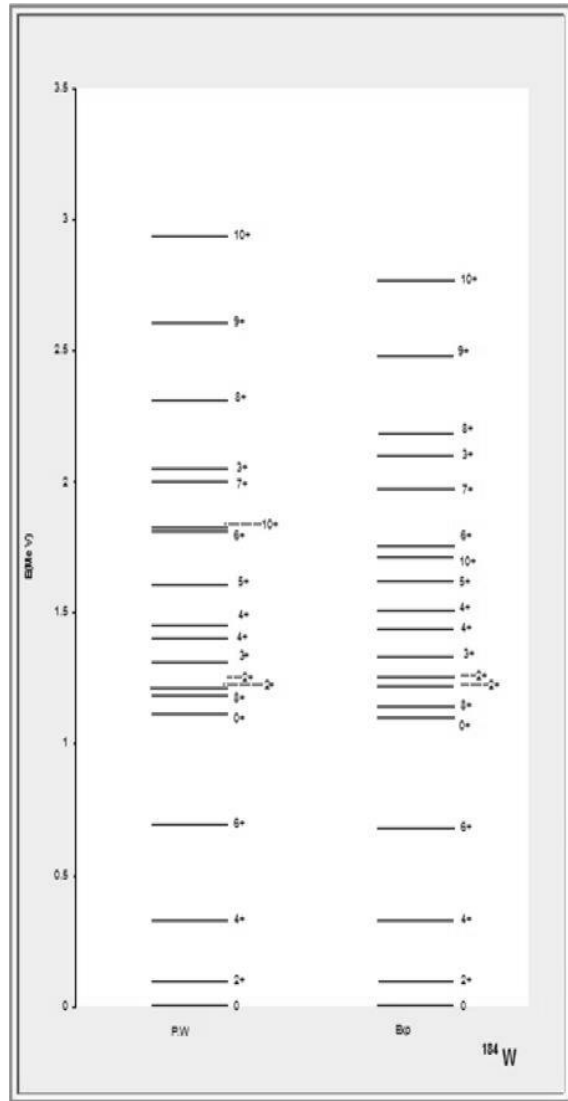
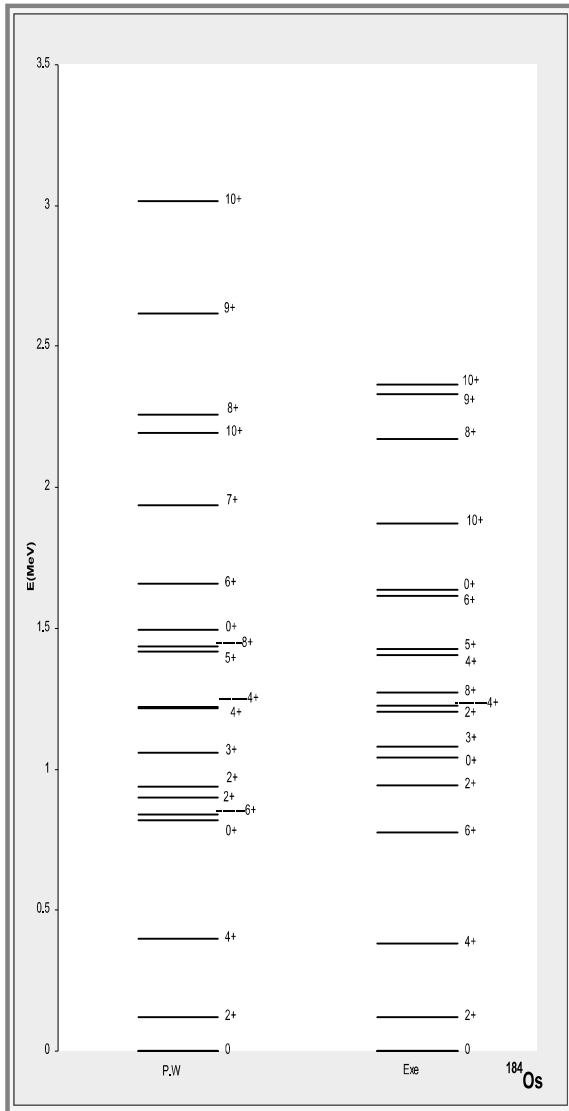
بالإضافة إلى ذلك فقد تم التنبؤ بالزخم الزاوي والتماثل لبعض مستويات الطاقة التي لم تكون محددة بصورة أكيدة وتم تأكيد بعضها وإيجاد الزخم والتماثل لبعض الآخر التي لم يسبق تحديدها عمليا وكما في الجداول (4-1) بالرجوع إلى جدول (1) الذي يبين المعاملات المستعملة في برنامج IBM-code نجد ان تأثير معامل التفاعل رباعي القطب  $\hat{Q} \cdot \hat{Q}$  يظهر كتفاعل وحيد ومهيمن

مطابقة تقريبا لنسب التحديد SU(3) والمساوية إلى (12,7,3,33) كما مبين بالأشكال (5-6). ان تركيب الحزمة الارضية المبينة بالأشكال (7-8) نلاحظ ان علاقة مستويات الطاقة مع العدد الذري تكون علاقة خطية ثابتة تقريبا ابتداء من العدد الذري 70 إلى 76. اما الشكل (9) فيبين العلاقة بين مستويات



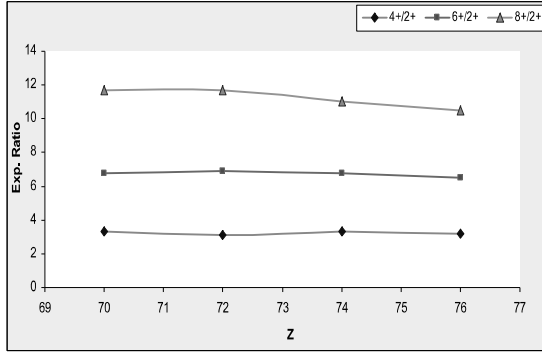
الشكل (2) يبين مقارنة بين مستويات الطاقة النظرية لنظير  $^{180}\text{Hf}$  المحسوبة بواسطة نموذج IBM-1 مع ما يقابلها من القيم العملية. [16]

الشكل (1) يبين مقارنة بين مستويات الطاقة النظرية لنظير  $^{178}\text{Yb}$  المحسوبة بواسطة نموذج IBM-1 مع ما يقابلها من القيم العملية. [7]

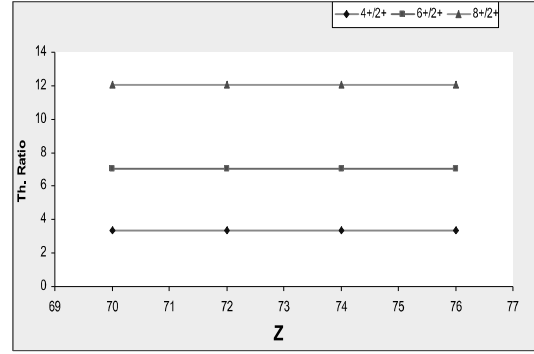


الشكل (4): يبين مقارنة بين مستويات الطاقة النظرية لنظير  $^{184}\text{Os}$  المحسوبة بواسطة نموذج IBM-1 مع ما يقابلها من القيم العملية [5].

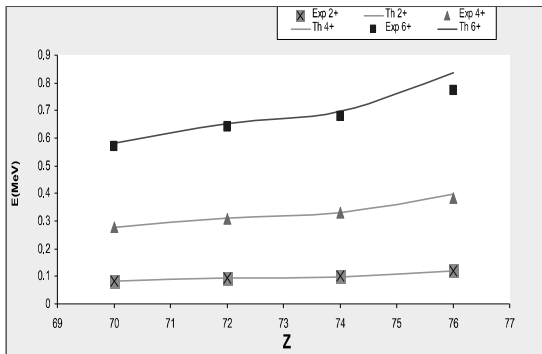
الشكل (3) يبين مقارنة بين مستويات الطاقة النظرية لنظير  $^{184}\text{W}$  المحسوبة بواسطة نموذج IBM-1 مع ما يقابلها من القيم العملية [4].



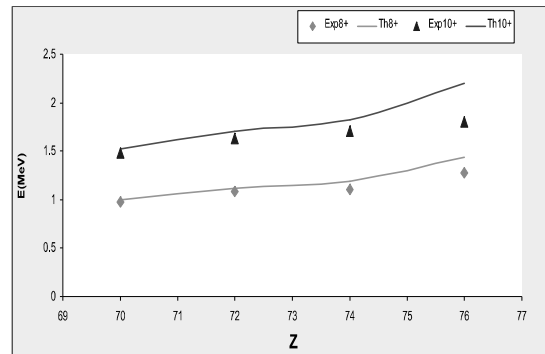
الشكل (6): يبين نسب الطاقة العملية  $(4^+/2^+)$  و  $(6^+/2^+)$  و  $(8^+/2^+)$  لنوى الزوجية-الزوجية.



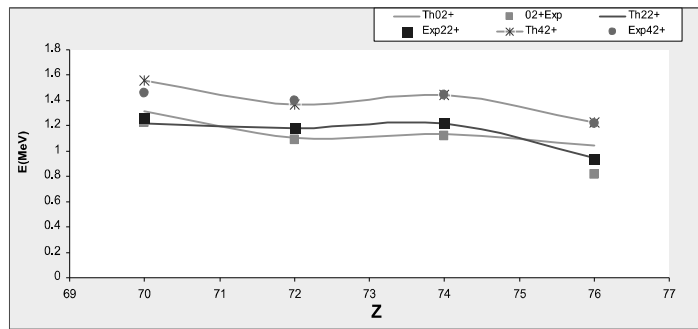
الشكل (5): يبين نسب الطاقة النظرية  $(4^+/2^+)$  و  $(6^+/2^+)$  و  $(8^+/2^+)$  لنوى الزوجية-الزوجية.



الشكل (8): يبين مستويات الطاقة  $(2^+)$  و  $(4^+)$  و  $(6^+)$  العملية والنظرية للحزمة الأرضية لنوى الزوجية-الزوجية.



الشكل (7): يبين مستويات الطاقة  $(8^+)$  و  $(10^+)$  العملية والنظرية للحزمة الأرضية لنوى الزوجية-الزوجية.



الشكل (5): يبين مستويات الطاقة  $(0_2^+)$  و  $(2_2^+)$  و  $(4_2^+)$  العملية والنظرية لنوى الزوجية-الزوجية.

$J^{\pi}$	النتائج الحالية	القيمة العملية	الملاحظات	$J^{\pi}$	النتائج الحالية	القيمة العملية	الملاحظات
$0^+_1$	0	0		$0^+_1$	0	0	
$2^+_1$	0.093	0.093		$2^+_1$	0.083	0.084	
$4^+_1$	0.311	0.308		$4^+_1$	0.277	0.278	
$6^+_1$	0.653	0.64		$6^+_1$	0.582	0.578	تم تأكيد مستوى الطاقة (Mev) (0.578) عند البرم والتماثل ( $6^+_1$ )
$0^+_2$	1.092	1.315	تم تأكيد مستوى الطاقة (Mev) (1.315) عند البرم والتماثل ( $0^+_2$ )	$8^+_1$	0.999	0.981	تم تأكيد مستوى الطاقة (Mev) (0.981) عند البرم والتماثل ( $8^+_1$ )
$8^+_1$	1.12	1.083		$0^+_2$	1.223	1.315	
$2^+_2$	1.184	1.183		$2^+_2$	1.266	1.221	تم تأكيد مستوى الطاقة (Mev) (1.221) عند البرم والتماثل ( $2^+_2$ )
$2^+_3$	1.185	1.199		$2^+_3$	1.306	1.387	تم تأكيد مستوى الطاقة (Mev) (1.387) عند البرم والتماثل ( $2^+_3$ )
$3^+_1$	1.278	1.291		$3^+_1$	1.35	1.436	مستوى طاقة ليس لها برم ولا تماثل (Mev) (1.436) تم تأكيدها بالبرم والتماثل ( $3^+_1$ )
$4^+_2$	1.402	1.369	تم تأكيد مستوى الطاقة (Mev) (1.369) عند البرم والتماثل ( $4^+_2$ )	$4^+_2$	1.461	1.559	تم تأكيد مستوى الطاقة (Mev) (1.559) عند البرم والتماثل ( $4^+_2$ )
$4^+_3$	1.403	1.409	تم تأكيد مستوى الطاقة (Mev) (1.409) عند البرم والتماثل ( $4^+_3$ )	$4^+_3$	1.501	1.705	مستوى طاقة (Mev) (1.705) ليس له برم ولا تماثل تم تأكيدها بالبرم والتماثل ( $4^+_3$ )
$5^+_1$	1.558	1.556	تم تأكيد مستوى الطاقة (Mev) (1.556) عند البرم والتماثل ( $5^+_1$ )	$10^+_1$	1.526	1.483	تم تأكيد مستوى الطاقة (Mev) (1.483) عند البرم والتماثل ( $10^+_1$ )
$10^+_1$	1.711	1.63		$5^+_1$	1.6	----	تم التنبؤ به
$6^+_2$	1.744	1.472	تم تأكيد مستوى الطاقة (Mev) (1.472) عند البرم والتماثل ( $6^+_2$ )	$6^+_2$	1.767	----	تم التنبؤ به
$7^+_1$	1.962	1.894	تم تأكيد مستوى الطاقة (Mev) (1.894) عند البرم والتماثل ( $8^+_2$ )	$7^+_1$	1.962	----	تم التنبؤ به
$0^+_3$	2.022	1.947	مستوى طاقة (Mev) (1.947) ليس له برم ولا تماثل تم تأكيدها بالبرم والتماثل ( $0^+_3$ )	$8^+_2$	2.184	----	تم التنبؤ به
$8^+_2$	2.211	2.112	تم تأكيد مستوى الطاقة (Mev) (2.112) عند البرم والتماثل ( $7^+_1$ )	$0^+_3$	2.243	----	تم التنبؤ به
$9^+_1$	2.491	2.353	تم تأكيد مستوى الطاقة (Mev) (2.353) عند البرم والتماثل ( $9^+_1$ )	$9^+_1$	2.435	----	تم التنبؤ به
$10^+_2$	2.803	2.425	تم تأكيد مستوى الطاقة (Mev) (2.425) عند البرم والتماثل ( $10^+_2$ )	$10^+_2$	2.713	----	تم التنبؤ به

جدول (1) يمثل مقارنة مستويات الطاقة النظرية والعملية [7] لنظير  $^{178}\text{Yb}$  جدول (2) يمثل مقارنة مستويات الطاقة النظرية والعملية [16] لنظير  $^{180}\text{Hf}$

جدول (3) يمثل مقارنة مستويات الطاقة النظرية والعملية [4] لنظير  $^{182}\text{W}$  جدول (4) يمثل مقارنة مستويات الطاقة النظرية والعملية [5] لنظير  $^{184}\text{Os}$

$J^\pi$	النتائج الحالية	القيمة العملية	الملاحظات	$J^\pi$	النتائج الحالية	القيمة العملية	الملاحظات
$0^+_1$	0	0		$0^+_1$	0	0	
$2^+_1$	0.119	0.119		$2^+_1$	0.099	0.1001	
$4^+_1$	0.399	0.383		$4^+_1$	0.331	0.329	
$0^+_2$	0.82	1.042		$6^+_1$	0.696	0.68	
$6^+_1$	0.838	0.774		$0^+_2$	1.116	1.1	
$2^+_2$	0.9	0.942		$8^+_1$	1.19	1.144	
$2^+_3$	0.94	1.204		$2^+_2$	1.214	1.221	
$3^+_1$	1.059	1.08		$2^+_3$	1.215	1.257	
$4^+_2$	1.218	1.224		$3^+_1$	1.314	1.331	
$4^+_3$	1.219	1.406	تم تأكيد مستوي الطاقة (Mev) 1.406 بالبرم والتماثل ( $4^+_3$ ) والتي كانت غير مؤكدة ( $4^+, 5^+, 6^+$ )	$4^+_2$	1.4	1.442	
$5^+_1$	1.418	1.428		$4^+_3$	1.448	1.51	
$8^+_1$	1.437	1.274		$5^+_1$	1.612	1.623	تم تأكيد مستوي الطاقة (Mev) 1.623 عند البرم والتماثل ( $5^+_1$ )
$0^+_3$	1.497	1.637	مستوى طاقة (Mev) 1.637 ليس له برم ولا تماثل تم تأكيدها بالبرم وتماثل ( $0^+_3$ )	$6^+_2$	1.812	1.756	
$6^+_2$	1.657	1.613		$10^+_1$	1.824	1.711	
$7^+_1$	1.937	----	تم التنبؤ به	$7^+_1$	2	1.971	تم تأكيد مستوي الطاقة (Mev) 1.971 عند البرم والتماثل ( $7^+_1$ )
$10^+_1$	2.195	1.871		$0^+_3$	2.053	2.1	تم تأكيد مستوي الطاقة (Mev) 2.1 بالبرم والتماثل ( $0^+_3$ ) والتي كانت غير مؤكدة ( $0^+, 4^+$ )



$8_2^+$	2.256	2.17	مستوى طاقة (2.17 Mev) ليس له برم ولا تماثل تم تأكيدها بالبرم وتماثل ( $8_2^+$ )	$8_2^+$	2.309	2.18	تم تأكيد مستوى الطاقة (2.18Mev) عند البرم والتماثل ( $8_2^+$ )
$9_1^+$	2.616	2.33	مستوى طاقة (2.33 Mev) ليس له برم ولا تماثل تم تأكيدها بالبرم وتماثل ( $9_1^+$ )	$9_1^+$	2.608	2.479	تم تأكيد مستوى الطاقة (2.479 Mev) عند البرم والتماثل ( $9_1^+$ )
$10_2^+$	3.015	2.366		$10_2^+$	2.939	2.769	تم تأكيد مستوى الطاقة (2.769 Mev) عند البرم والتماثل ( $10_2^+$ )

### Reference

- [10] **Iachello, F.** "An Introduction to the Interacting Boson Model", Nuclear structure Edited by, Abrahams, K.; Allaart, K., and Dieperink, A. E. L. Plenum Pages (53-87) (1980).
- [11] **Nomura K, T. Otsuka, R. Rodriguez-Guzman, L. M. Robledo, P. Sarriguren.** Collective structural evolution in neutron-rich Yb, Hf, W, Os and Pt isotopes. Phys. Rev. C. Vol 7Pages 12 (2011).
- [12] **Patra, S. K. ; Praharaj, C. R. ; Khamari.** OSCILLATIONS IN DEFORMATION PROPERTIES OF HEAVY RARE EARTH NUCLEI. Journal of Physics G: Nuclear and Particle Physics. . Vol 25, Pages 2 (1999).
- [13] **Champeau R -J, J -J Michel and H Walther.** Spectroscopic determination of the nuclear moments of  $^{169}\text{Yb}$ ; relative isotope shift between the isotopes  $^{168}\text{Yb}$ ,  $^{169}\text{Yb}$  and  $^{170}\text{Yb}$ . Journal of Physics B: Atomic and Molecular Physics. Vol7.Pages 8 (1974).
- [14] **Sven Aberg ,** An Investigation of yrast traps in some prolate Hf isotopes , Nucl. Phys. , A306 , Pages.89 , (1978) .
- [15] **S. Zerguine, P. Van Isacker, A. Bouldjedri, and S. Heinze.** Correlating Radii and Electric Monopole Transitions of Atomic Nuclei. Phys. Rev. Lett. . Vol 101 Pages 4 (2008).
- [16] **Wu, H. Niu.** Nuclear Data Sheets 100, 483 (2003)
- [1] **Arima A. and Iachello F,** " The Interacting Boson Model", The Syndicate Press of the University of Cambridge,England, Pages 3-127(1987).
- [2] **Bonatsos D.** " Interacting Boson Model of Nuclear Structure" Oxford University Press, New York, Pages 1- 271 (1988).
- [3] **Bonatsos D.** " Interacting Boson Model of Nuclear Structure" Oxford University Press, New York, Pages.1- 271 (1988).
- [4] **Balraj Singh and Joel C. Roediger .**Nuclear Data Sheets 111, 2081 (2010)
- [ 5 ] **Coral M. Baglin.** Nuclear Data Sheets 111,275 (2010)
- [6] **Dr. Wagner F, D. Kucheida, G. Kaindl, P. Kienle.** Electric quadropole and magnetic dipole moments of the first excited 2+ states of  $^{186}\text{Os}$  and  $^{188}\text{Os}$ . The European Physical Journal A - Hadrons and Nuclei . Vol 230.Pages 80-88 (1970).
- [7] **Achterberg E, O.A. Capurro, G.V.** Marti Nuclear Data Sheets 110, 1473 (2009).
- [8] **Greiner, W. and Maruhn, J. A.** "Nuclear Models", Spring-Verlag Berlin Heidelberg Newyork(1996).
- [9] **Iachello F. and Van Isacker P.** "The Interacting Boson Fermion Model ", Cambrige University Press,Cambrige, Pages.25-35(1991).

**\*Studying of deformation effect on energy levels in heavy nuclei region**

Received: 4/6/2014

accepted:19/10/2014

**Qaissar Abdulhusein Abbas**  
**University of Kufa**  
**Master in Physics**  
**Caesar. budeiri@yahoo.com**

**Heiyam Najy Alkhafajy**  
**University of Kufa**  
**Master in Physics**  
**heiyam Najy @yahoo.com**

**ABSTRACT**

The work aims to study nuclear structure for some heavy nuclei Using the first interacting bosons model (IBM-1) and it calculated low-lying structure levels To determine the type of dynamic symmetry that those isotones belongs to it (178Yb, 180Hf, 182W, 184Os ) It has been predicted angular momentum and parity for some energy levels that have not been a definite to be a specific has been confirmed each other and find the momentum and symmetry of some of the other not previously denitrified practically

Keywords: nuclear structure, interacting bosons, dynamic symmetry ,structure levels, angular momentum

**Physics classification : QC770-798**

\*The Research is a part of on MSC. Thesis in the case of first Research